

Three component one pot synthesis of some Mannich base from morpholine and primary amines

Fariq Salah Ahmed¹ Ayad S. Hameed², Khalid M. Mohammed¹

¹Department of chemistry / college of Education for Pure Science / University of Tikrit

fariqsalah@gmail.com

²Department of chemistry / college of Science / University of Tikrit

ayadhamed@yahoo.com

ABSTRACT

This study includes the preparation number of new Mannich bases derived from one mole p-hydroxybenzaldehyde with equivalent moles of morpholine and primary amines in the ethanol as a solvent. The prepared Mannich bases were characterized by the infrared spectroscopy and nuclear magnetic resonance for proton and carbon-13 (¹H NMR and ¹³C-{1H} NMR). The completion of the reaction was checked by using TLC.

Keywords: Mannich Bases, NMR, Morpholine.



تحضير ثلاثي المكونات احادي الوعاء لعدد من قواعد مانخ الحاوية على المورفولين وامينات اولية مناسبة

فريق صالح احمد' ، اياد سعدي حميد' ، خالد مطني محمد' فسم الكيماء / كلية التربية للعلوم الصرفة/ جامعة تكريت

fariqsalah@gmail.com

^ا قسم الكيماء / كلية العلوم / جامعة تكريت

ayadhamed@yahoo.com

الملخص

تضمن هذا البحث تحضير عدد من قواعد مانخ الجديدة من تفاعل مول واحد من كل من بارا- هيدروكسي بنزالديهايد و المورفولين مع عدد من الامينات الاولية وباستخدام الإيثانول كمذيب. شخصت المركبات المحضرة باستخدام مطيافية الاشعة تحت الحمراء و مطيافية الرنين النووي المغناطيسي وتم التأكد من سير واكتمال التفاعلات باستخدام كروموتو غرافيا الطبقة الرقيقة TLC.

الكلمات الدالة : قواعد مانخ، المورفولين ، الرنين النووي المغناطيسي.



(Introduction) المقدمة

صنفت قواعد مانخ كمركبات مشهورة منذ وقت طويل ولا زال الاهتمام بهذه المركبات مستمر بسبب فعاليتها في الجوانب الدوائية وتطبيقاتها الصناعية كالبوليمرات المستخدمة في الطلاء والأكساء إضافة إلى تطبيقاتها في الحقول المختلفة. وان مصطلح قاعدة مانخ يشمل جميع المركبات العضوية التي تحتوي على المجموعة الفعالة (CH_2N). ويعد العالم Caril Mannich هو اول من درس قواعد مانخ لذلك ارتبطت تسمية هذه القواعد بأسمه ومنذ ذلك الحين أصبحت قواعد مانخ من الموضوعات المهمة التي تستحق الدراسة والبحث حيث درس كل من العالمين (Hellmann Optiz Reichert)، قواعد مانخ وتطبيقاتها في المجالات المختلفة ومن خلال هذه الدراسة توصلا إلى العديد من الطرق الكيميائية لتحضير هذه المركبات [1-1].

ان تفاعل مانخ هو تفاعل إضافة نيوكليوفيلية إلى مجموعة الكاربونيل ويتضمن الكلة الأمينات بواسطة مركب يحتوي على بروتون فعال ومجموعة كاربونيل بوجود امين أولي او ثانوي والامونيا أحياناً [٤]، والناتج هو β-amino carbonyl أو احد مشتقات Methyl amino وتدعى قواعد مانخ المياناً (١٤٤). ويمكن أن يحدث تفاعل مانخ تحت التأثير القاعدي [١٤-٤].

لقد درس الباحثان (ثرامو تثيت وانجلو ليوليتا) [١٣] تطبيقات قواعد مانخ في المجالات المختلفة وخلاصة هذه الدراسة بانها هيئت طرائق مختلفة لتحضير مركبات وسطية يمكن إستخدامها في تحضير العديد من المركبات العضوية المهمة، ففي المجال الصناعي وبسبب الانتقائية والحساسية العاليتين لمعقدات قواعد مانخ تجاه الايونات المعدنية، أثبتت قابليتها على إزالة المواد الصلبة السامة وخصوصاً تلك الملوثة للبيئة.

إن إحتواء هذه المركبات على مجموعة الـ (amine) والتي لها القدرة الكبيرة على تكوين المعقدات مع الايونات المعدنية وذلك من خلال الذرات الغير المتجانسة منها الاوكسجين والنيتروجين وغيرها التي تستطيع ان ترتبط مع الايونات الفلزية لتكوين معقدات مع قواعد مانخ. ومن التطبيقات الصناعية الاخرى هي البوليمرات المستخدمة في الطلاء والاكساء، ويمكن استخدامها ايضا في معالجة الفضلات الصناعية وبشكل خاص إزالة العناصر الثقيلة لما لها من تأثيرات سمية على الكائنات الحية الحيوانية والنباتية ومن هذه العناصر السامة (الزئبق، الرصاص، النحاس، الكادميوم، الزنك)[15].



وكان الهدف من هذا البحث تحضير عدد من قواعد مانخ من تفاعل بارا-هيدروكسي بنز الديهايد و من المور فولين وامين اولي مناسب وحسب المخطط ادناه. شخصت المركبات المحضرة باستخدام مطيافية الاشعة تحت الحمراء وتم التأكد من سير واكتمال التفاعلات باستخدام الـ TLC.

$$OH \longrightarrow OH \longrightarrow H^{2N-R} \xrightarrow{1 - Cooling/ \text{ stirring 1hr}} O \longrightarrow N - C - N - R \longrightarrow H$$

$$H \xrightarrow{C} O \longrightarrow I$$

$$[F_1 - F_{20}]$$

 $[F_{1}-F_{20}]$ المخطط (۱) : تحضير قواعد مانخ

Y. المواد وطرائق العمل (Experimental)

١,٢. الاجهزة والمواد المستخدمة

تم قياس درجة الانصهار باستخدام من النوع Electro thermal 9300 و الدالة الحامضية الـ pH باستخدام جهاز من نوع (Hanna) قسم الكيمياء – كلية التربية للعلوم الصرفة – جامعة كركوك، اما اطياف الاشعة تحت الحمراء فقد تم تسجيلها باستخدام جهاز من KBr 8400S وبمدى (٤٠٠٠ - ٤٠٠٠) سم أن في مختبر الاجهزة – قسم الكيمياء - كلية التربية - جامعة صلاح الدين - اربيل واستعملت كروموتو غرافيا الطبقة الرقيقة (Fluka) TLC (Fluka) التربية حسليكا جيل - G فلوروسينت المنشطة بسمك ٢٠، ملم) لتتبع سير التفاعلات وتدقيق نقاوة النواتج وكان التطهير باليود . واما المواد الكيميائية المستخدمة في هذا البحث فقد استعملت مباشرة بدون اعادة البلورة، والمجهزة من الشركات (Aldrich · Merck · BDH · Fluka).

٢-٢ تحضير المركبات

۲-۲-۱ طريقة تحضير عامة[١٥]

اذيب (٠,٠١ مول) من المورفولين في اقل كمية من الايثانول ثم اضيف اليه (٠,٠١ مول) من باراهيدروكسي بنزالديهايد ووضع المزيج في حمام ثلجي مع التحريك المستمر لساعة واحدة. ثم



اضيف وبشكل قطرات الى المزيج المتفاعل (١٠,٠ مول) من محلول بارد من احد الامينات الاولية المذابة في الايثانول ثم صعد مزيج التفاعل الناتج (٦) ساعات بعدها بخر المذيب مخلفاً الراسب، غسل الراسب بكمية قليلة من الايثانول البارد واعيدت بلورته من مذيب مناسب. الثوابت الفيزيائية مثبتة في الجدول ١.

 $(F_{20} - F_1)$ الثوابت الفيزيائية لقواعد مانخ المحضرة

Comp.	R	Molecular	m.p.	Yield	Color	Recryst.
No.	K	formula	°C	%	Color	Solvent
F ₁	H " -N-C-NH ₂	C ₁₂ H ₁₈ N ₄ O ₂ S	195-196	68	Brown	Ethanol Water
$\mathbf{F_2}$	H_3C N CH_3	$C_{22}H_{26}N_4O_3$	220-224	50	Dark Yellow	Dioxane
F ₃	N	C ₁₆ H ₁₉ N ₃ O ₂	190-192	94	Colorle ss	Ethanol
F ₄	$\begin{array}{c c} & & & \\ & & & \\ & & & \\ & & & \\ & & & \\ & & & \\ & & & \\ & & & \\ & & & \\ & & & \\ & & & \\ & & & \\ & & & \\ & & & \\ & & \\ & & & \\ & &$	$C_{25}H_{25}N_5O_3$	238-240	61	Yellow	Dioxane
\mathbf{F}_5	$-$ C $-$ OC $_2$ H $_5$	C ₂₀ H ₂₄ N ₂ O ₄	140-144	45	Dark Yellow	Ethanol
F ₆	HO ₂ S — C—	C ₁₇ H ₂₀ N ₂ O ₅ S	156-158	50	Dark Green	Ethanol Water



\mathbf{F}_7	H ₃ C	$C_{20}H_{21}N_2O_4$	185-186	75	Dark Brown	Ethanol
F ₈	→	C ₂₈ H ₂₄ N ₄ O ₄	214-216	50	Dark Brown	Dioxane
F ₉	S _N	C ₁₈ H ₁₉ N ₃ O ₂ S	136-138	52	Dark Yellow	Ethanol
F ₁₀	ONO S-NH2	C ₁₇ H ₂₁ N ₃ O ₄ S	150-152	66	Brown	Ethanol
F ₁ ,	-ОН	$C_{17}H_{20}N_2O_3$	185-187	65	Red	Ethanol
F ₁ ,	NH ₂	C ₂₃ H ₂₅ N ₃ O ₂	125-128	30	Dark Brown	Ethanol
F ₁ *	¬ s j	C ₁₄ H ₁₇ N ₃ O ₂ S	206-208	62	Orange	Dioxane
F ₁ :	H N N,N	$C_{23}H_{26}N_6O_2$	225-227	70	Dark yellow	Dioxane
F ₁ .	-N-C-CH ₃	C ₁₉ H ₁₈ N ₄ O ₅	203-206	65	Colorle ss	Dioxane
F ₁ ,	——С——СООН СН ₃	$C_{16}H_{20}N_2O_4$	236-238	30	Red	Ethanol Acetone
F ₁ v		C ₁₇ H ₁₉ N ₃ O ₂	280-282	30	Pink	Dioxane
F ₁ ^	— N	$C_{15}H_{19}N_3O_2$	90-92	89	Brown	Ethanol
F ₁ ,	-S-N-N-O CH ₃	$C_{21}H_{24}N_4O_5S$	218-220	60	Dark Brown	Dioxane
F ₁₀	CI ON N N OSN-NH	$C_{20}H_{19}N_4O_6S_2$	210-212	70	Yellow	Dioxane



٣. النتائج والمناقشة (Results & Discussion)

$[F_{1}-F_{20}]$ تحضير وتشخيص المركبات 1,۳

تم تحضير المركب بطريقة العمل المذكورة في الفقرة السابقة من هذا الجزء وحسب الميكانيكية المفترضة في ادناه وذلك بتكاثف المورفولين مع ٤-هيدروكسي بنزالديهايد وأمين اولي مناسب وباستخدام الايثانول المطلق كمذيب وادناه معادلة التفاعل المركبات.

المخطط (٢) الميكانيكية المقترحة لتفاعل تحضير قواعد مانخ

وقد تم التأكد من حصول التفاعل بمتابعة تغير الخصائص الفيزيائية من درجة الانصهار واللون فضلا عن مطيافية الاشعة تحت الحمراء (IR)، اذ اظهر الطيف حزمة مط مجموعة الـ (-N-P97-T100) سمن المدى (۳۱۹-۳۹۹) سمن المدى (۳۳۹۱-۲۷۹۹) سمن المدى (۳۳۹۱-۲۷۹۹) سمن المدى (۳۲۹-۲۷۹۹) الأروماتية ضمن المدى (۳۰۱-۲۷۹۹) سمن المدى (۳۱۰-۳۱۹) الأروماتية ضمن المدى (۳۱۰-۳۱۹) سمن المدى (۳۱۰-۱۹۳۹) سمن المدى (۳۱۰-۱۹۳۹) سمن المدى (۳۱۰-۱۹۳۹) سمن المدى (۳۱۰-۱۹۳۱) سمن المدى (۳۱۰-۱۹۲۱) سمن المدى (۳۰۵-۱۹۲۱) سمن المدى (۳۱۰-۱۹۲۱) سمن المدى (۳۱۰-۱۹۲۱) سمن المدى (۳۰۵-۱۹۲۱) سمن المدى (۳۱۰-۱۹۲۱) سمن المدى (۳۰۵-۱۹۲۱) س



ما نشر في الأدبيات (١٢-١١)، الجدول (٢) يبين بعض حزم الأشعة تحت الحمراء (IR) للمركبات المحضرة $[F_{1}-F_{20}]$ (انظر الاشكال ١ و٢).

 $(F_{7}, -F_{1})$ لفواعد مانخ (2) حزم الأشعة تحت الحمراء بـ (سم القواعد مانخ

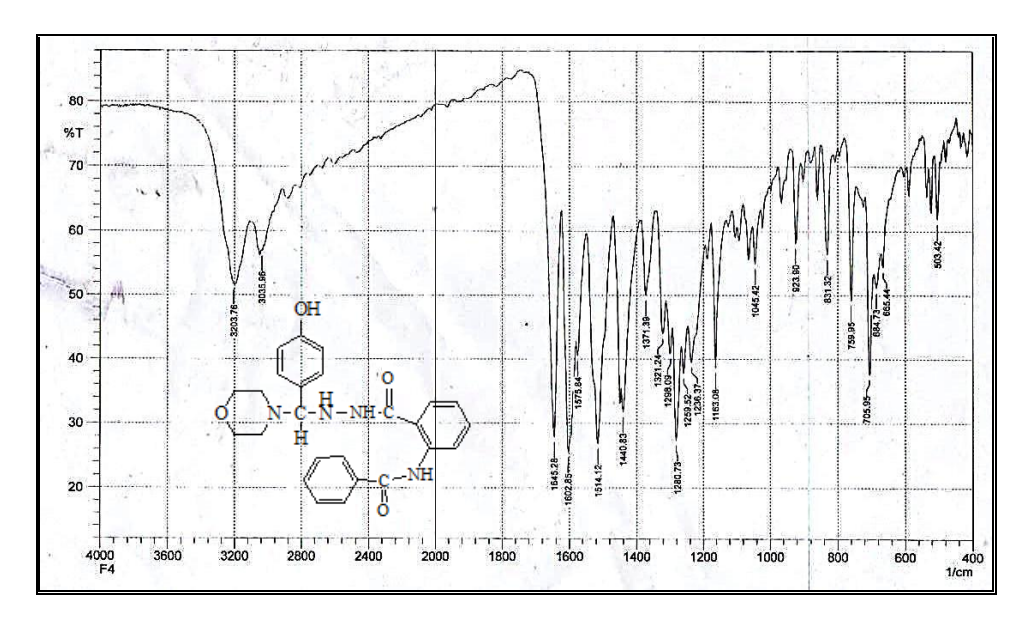
G	R	v (cm ⁻¹) (KBr)							
No.		N-H	C-H _{Al}	C-N	C-O-C Cy acy	С-Наг	C=C Cy acy	Others	
F,	H S -N-C-NH ₂	3360	2950	1228	1660 1665	3020	1444 1608	NH ₂ 3469 C=S 1605- 1095	
F ₂	H_3C C C C C C C C C C	3300	2796	1232	1024 1159	3084	1487 1610	C=O 1654 C=N 1610	
Fr	N	3150	2883	1286	1045 1159	3012	1471 1602	C=N 1624	
F.	0.0 H C N H C C C C C C C C C C C C C C C C	3203	2910	1280	1045 1163	3035	1440 1602	C=O 1645	
F.	-	3344	2985	1282	1022 1163	3005	1440 1573	C=O 1716	
F۱	HO ₂ S — C — O	3325	1900	1271	1020 1093	3050	1440 1598	C=O 1625	





ISSN 1992 - 0849

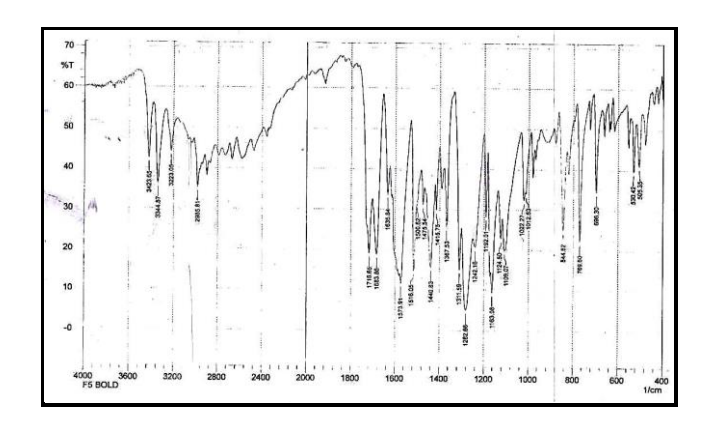
F ₁ ,	0 —C—	3310	2908	1201	1043	3074	1406	C=O 1680
FIV	N	3310	2908	1201	1201	3074	1560	C=N 1627
TC.		3250	2910	1307	991	3-72	1436	C=N 1649
Fıx	N	3230	2910	1307	1147	3-72	1600	C=N 1049
100	0,0H 0,0H CH.	2200	2060	1226	1041	2050	1411	C N 1627
F19	S-N CH ₃	3300	2868	1226	1226	3050	1570	C=N 1627
	CI CI				1024		1440	C=N 1602
F۲.	0 0 N// -S	3363	2860	1336	1024	3005	1440	S=O 1060
	OZS-NH O	I			1151		1519	C-Cl 777



 F_4 الشكل (۱): طيف الاشعة تحت الحمراء للمركب

Web Site: $\frac{www.kujss.com}{kirkukjoursci@gmail.com} Email: kirkukjoursci@gmail.com$





 F_5 الشكل (٢): طيف الاشعة تحت الحمراء للمركب

٢,٣ تشخيص قواعد مانخ بواسطة مطيافية الرنين النووي المغناطيسي

قيست أطياف الرنين النووي المغناطيسي للبروتون (1 H-NMR) لبعض المركبات المحضرة لدعم صحة التراكيب البنائية المتوقعة للمركبات المحضرة باستخدام مذيب (6 DMSO- 4)، وقد تم القياس الازاحات الكيميائية سكما (6) القياسية ويعبر عنها بوحدة (6). وقد كانت النتائج كما هو مبين أدناه

اظهر طيف الرنين النووي المغناطيسي للبروتون 1 H NMR المركب 1 P والمقاس في المعناطيسي للبروتون 1 DMSO-d (1 NH) بروتونات مجموعتي (1 NH) عند الموقع (1 NH) عند الموقع (1 NH) كإشارة الحادية. وإما بروتونات مجموعة (1 NH) عند الموقع (1 NH) عند الموقع الفنيل فقد طلب متعددة ضمن الملك معددة ضمن الملك بروتون مجموعة الهيدروكسيل الفنيولية فقد ظهر عند الموقع (1 NH) كإشارة احادية. بينما بروتونات حلقة المورفولين فقد ظهرت عند الموقعين (1 NH) و (1 N-CH) كإشارة ثلاثية اما (1 N-CH) فقد ظهرة عند الموقع (1 N-CH) و (1 N-CH) على التوالي كإشارة ثلاثية اما بروتون (1 N-CH) فقد ظهرة عند الموقع (1 N-CH) كأشارة احادية.

اظهر طيف الــــ NMR المركب \mathbf{F}_2 بروتونات مجموعتي المثيل عند الموقعين المركب δ (O-CH₂) و (O-CH₂) بروتونات مجـــــموعتي δ (2.66ppm) و δ (1.98ppm). المـــدى ppm و المـــدى δ (NH) فقد ظهرت عند الموقع (NH) فقد ظهرت حلقات الفنيل δ (2.55ppm) وبروتون مجموعة (CH) ظهر عند الموقع (δ (5.11ppm) وبروتون مجموعة (δ (CH) فهد الموقع (δ (δ (δ (δ (δ (δ)) فالم



ظهرت عند المدى ppm $\delta(6.93-7.76)$ و بروتونات مجموعة الهيدروكسيل الفينولية فقد ظهرت عند الموقع $\delta(9.99$.

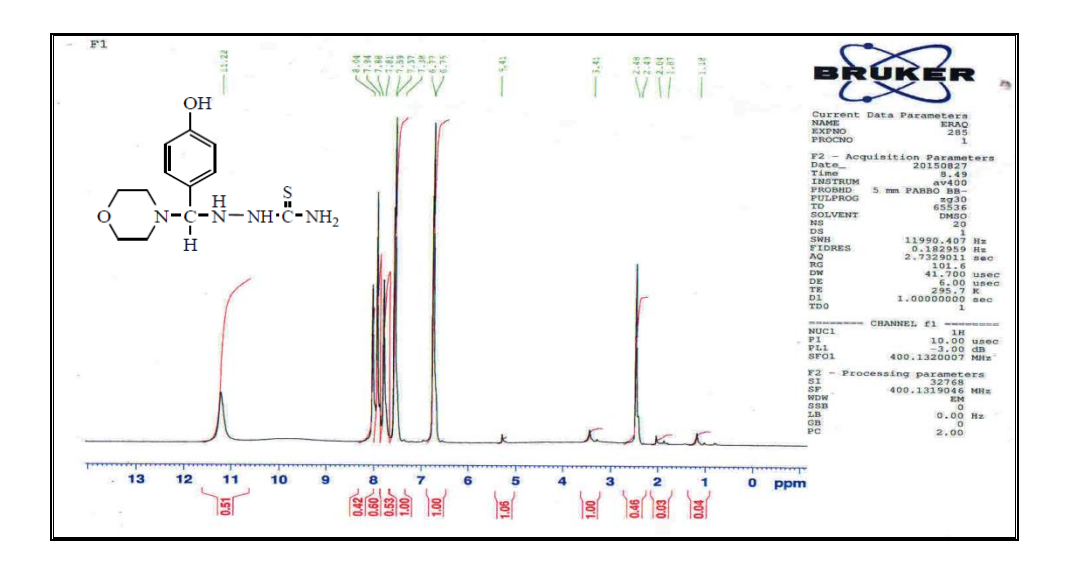
اظهر طيف الرنين النووي المغناطيسي للبروتون للمركب \mathbf{F}_{10} والمقاس في مذيب DMSO-d⁶ الشكل (\mathbf{o}) اظهرت بروتونات (\mathbf{OH}) الفينولية عند الموقع (\mathbf{o} (8.72ppm) كإشارة احادية وظهرت حلقات الفنيل كإشارات متعددة ضمن المدى \mathbf{o} (0-CH₂) و (\mathbf{o} -CH₂) و اما بروتونات حلقة المورفولين (\mathbf{o} -CH₂) و (\mathbf{o} -CH₂) وكذلك (\mathbf{o} (NH) فقد ظهرت كإشارة متعددة عند الموقع ppm (\mathbf{o} (3.42-3.65) وقيست أطياف الرنين النووي المغناطيسي للكاربون الالمون المركبات العضوية في طيف الرنين النووي المغناطيسي للكاربون (\mathbf{o} (3.42-3.65) تظهر إمتصاصاً في المدى بين (\mathbf{o} (0-200ppm) تظهر إمتصاصاً في المدى بين (\mathbf{o} (3.42-3.05)

ققد اظهر طیف الکاربون - 17 المرکب 2 (الشکل 2) ذرة کاربون مجموعة 2 CH3 عند الموقع 2 الموقع 2 N-CH2 عند الموقع 2 الموقع 2 N-CH3 فيما ظهرت ذرة کاربون 2 کاربون 2 الموقع 2 الموقع (2 کاربون 2 کار کاربون 2 کار کاربون 2 کار کاربون 2 کاربون کار

هرت عند فقد ظهرت عند $\delta(132.20 ppm)$ و $\delta(132.20 ppm)$ على التوالي. اما ذرات كاربون جزئية المورفولين فقد ظهرت عند الموقعين ($\delta(60.62 ppm)$ و ($\delta(22.00 ppm)$ على التوالى.

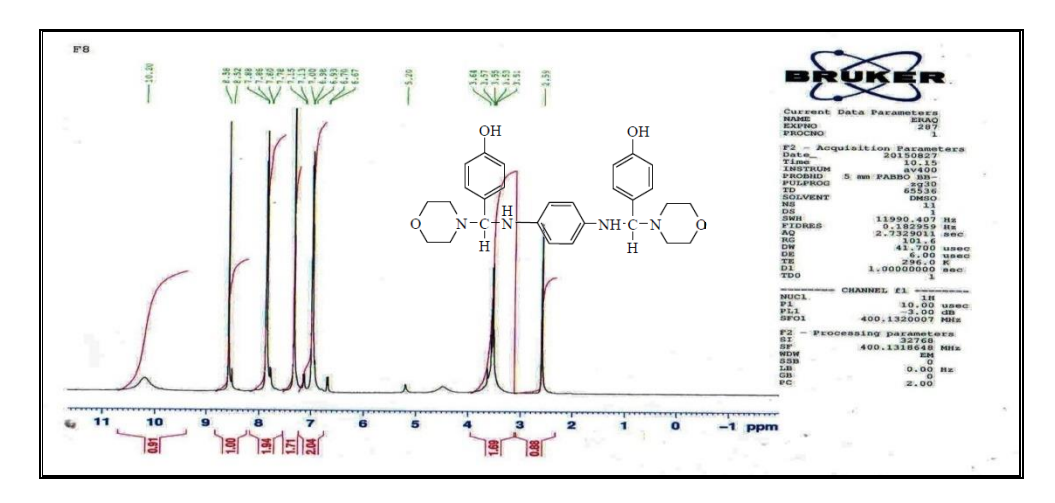


اظهر طيف الرنين النووي المغناطيسي للكاربون - \mathbf{F}_{11} للمركب \mathbf{F}_{11} ذرات الكاربون جزيئة المورفولين عند الموقع $\delta(45.43ppm)$ و $\delta(60.74ppm)$ والتي اعزيت لـ $\delta(60.74ppm)$ والتي اعزيت لـ $\delta(60.74ppm)$ على التوالي. وذرات الكاربون (3) و (4) عند الموقع (115.01ppm) و وكذلك ظهرت إشارة ذرات الكاربون (9) عند ذرات الكاربون (9) عند الموقع (9) عند الموقع (10) و (0) فقد ظهرت عند الموقعين الموقع (10) و (10) و (10) فقد ظهرت عند الموقع (156.30ppm) و ذرة كاربون رقم (1) ظهرت عند الموقع (159.34ppm) و ذرة كاربون رقم (1) عند الموقع (94.44ppm) و ذرة كاربون رقم (1) عند الموقع (94.44ppm) و ذرة كاربون رقم (1) عند الموقع (94.44ppm) و $\delta(94.46ppm)$

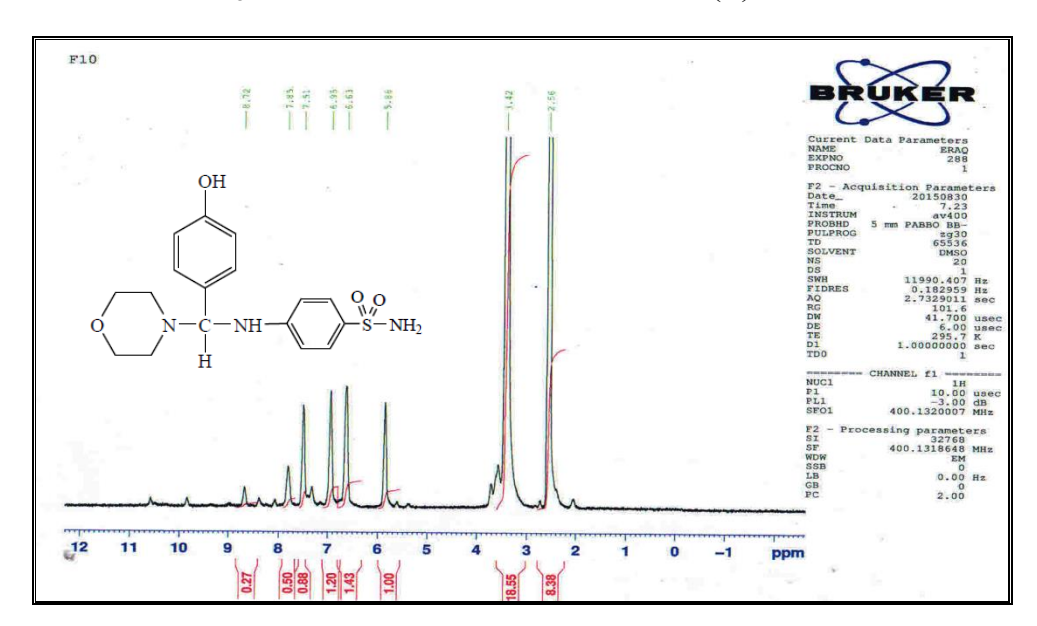


 F_1 للمركب 1 H NMR الشكل (۳) طيف البروتون



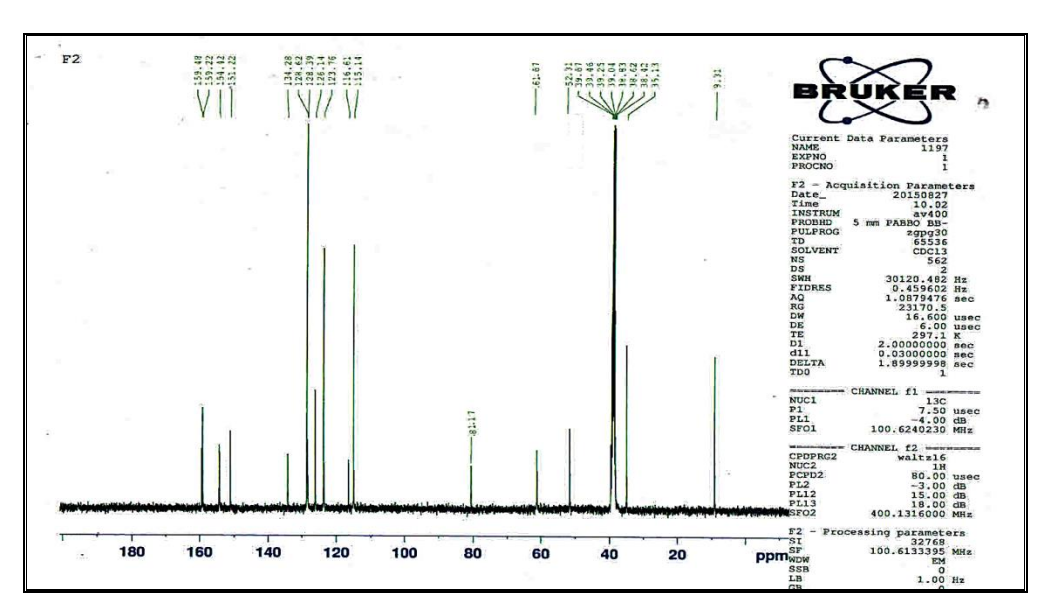


 F_8 الشكل 1 H NMR طيف البروتون

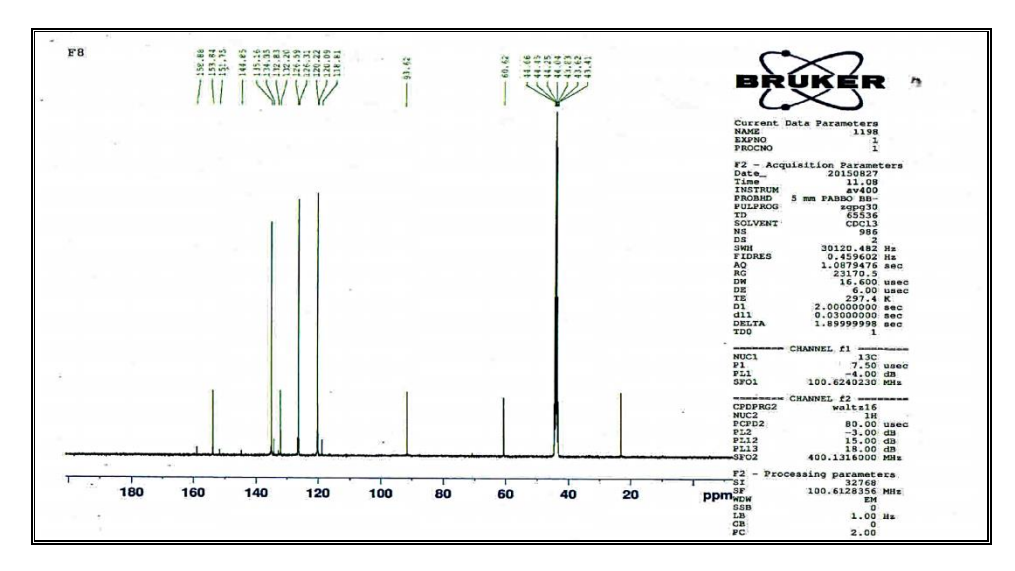


 F_{10} الشكل (٥) : طيف البروتون 1 H NMR المركب





 F_2 الشكل (٦): طيف الكاربون 13 C NMR الشكل (٦)



 F_8 الشكل ($^{\vee}$): طيف الكاربون 13 C NMR الشكل



(References) المصادر

- [1] M. Nagham, J. Al-Jamali, *Kerbala*, *Un. J.* (2013), Vol. 11, No. 2.
- [2] B. Richart, Der Mannich Peakion, (1959) Springer, verlage Bwelin.
- [3] H. Hellmann (1960). Optiz, Chem. weinheim, Germang.
- [4] R. O. C. Norman, (1986)"*Principles of Organic synthesis*", Methuen and Co. TD. London, P. 272,.
- [5] Jerry March, (2004) "*Addition to Carbon, hetero-Multiple bonds*", Published by Blackle Academic and Professional, 1st ed., pp 1294.
- [6] G. Wenzel and P. Laionde (2003), Syn, Lett., 12, PP.1919-1922,.
- [7] R. Morrison, and F. Boyd, *Organic Chem.*, Part. Chap 19, Page. 628, 629, 632.
- [8] H. Khuthier, and M. A. sheat, (1989), *J. F. Prakt, chemie*, 2, 187,.
- [9] N. K. Vishnoi, (1982)."*Advanced Practical Organic Chemistry*" Vikas Publishing House PVILTD, 364,
- [10] P. Mitra, and A. S. Mittra, *J. Indian, Chem. Soc.*, (1981); 58(7):695 *Chem. Abs.*, 95: 132743, (1982).
- [11] F. Collino, and S. Volpe, (1982). *Boll. Chim. Farm*, 121(4): 167, (1982); *Chem. Abs.* 97: 162889,
- [12] M.Kumar, A.Verma, K. Saxena, and A. K. Shan, and K. Shanleer, (1989) *J. Indain, Chem. Sect. B.* 278(1988); 3(301): *Chem. Abs.* 111,...
- [13] M. Tramontini and L. Anglio Lini (1994)"Mannich bases Chem. and uses", CRC Press, Boca Raton PP. 17-20,.
- [14] B. J. Alloway, and D. C. Agres, (1997)"*Chemical Principles of Environmental Pollution*" Published by Blackle Academic and Professional, 2nd ed.
- [15] F. D. Khalid, (2007), *Ph. D. Thesis*, University of Tikrit,.
- [16] R. M. Silversten, (1988) "Spectrometric Identification of Organics Compounds" Fracis X. Webster, David J. Kiemle. Un. Of New York.
- [17] J. W. Dhore, G. B. Dette, S. P. Waghl, G. D. Thorat, (2011), *Archires of Applied Science Research*, 3(1): 407-414,.